

1

## BAB I PENDAHULUAN

### 1.1 Latar Belakang

Indeks harga saham gabungan (IHSG) merupakan salah satu indeks pasar saham yang digunakan oleh bursa efek Indonesia (BEI). IHSG menunjukkan pergerakan harga saham secara umum yang tercatat di bursa efek. IHSG dapat digunakan untuk menilai situasi pasar secara umum atau mengukur apakah harga saham mengalami kenaikan atau penurunan. Indeks ini diperkenalkan pertama kali pada tanggal 1 April 1983. Dasar perhitungan IHSG adalah jumlah nilai pasar dari total saham yang tercatat pada tanggal 10 Agustus 1982. Jumlah nilai pasar sendiri merupakan total perkalian setiap saham tercatat (kecuali untuk perusahaan yang berada dalam program restrukturisasi) dengan harga di BEI pada hari tersebut. Perhitungan indeks merepresentasikan pergerakan harga saham di bursa yang terjadi melalui sistem perdagangan lelang (Anonim, 2008).

Harga-harga saham bergerak dalam hitungan detik dan menit, maka nilai indeks pun bergerak turun naik dalam hitungan waktu yang cepat pula. Untuk mengantisipasi perubahan harga saham yang nantinya akan berdampak pada perubahan IHSG tersebut maka diperlukan analisis saham. Terdapat dua pendekatan yang sering dilakukan untuk menganalisis harga saham, yaitu analisis fundamental dan analisis teknikal. Analisis fundamental pada dasarnya adalah melakukan analisis historis atas kekuatan keuangan, proses ini sering juga disebut sebagai analisis perusahaan. Sementara itu analisis teknikal lebih menitikberatkan pergerakan harga saham yang terjadi di bursa pada kurun waktu tertentu. Dalam analisis teknikal pendekatan dilakukan dengan menggunakan metode-metode peramalan, (Sekuritas, 2006). Data IHSG memiliki tingkat fluktuatif yang besar sehingga data ini cenderung mempunyai perubahan variansi yang tinggi. Salah satu metode yang sesuai untuk meramalkan data jenis ini adalah *generalized autoregressive conditional heteroscedasticity* (GARCH).

*Generalized autoregressive conditional heteroscedasticity* (GARCH)

merupakan perkembangan dari model *autoregressive conditional*

2

*heteroscedasticity* (ARCH). Model ARCH kali pertama diperkenalkan oleh Engle pada tahun 1982 dengan memperkenalkan konsep *conditional heteroscedastic*, sebuah konsep tentang ketidak-konstanan variansi dari data acak, dan perubahan variansi ini dipengaruhi oleh data acak sebelumnya yang tersusun dalam urutan waktu. Dalam model GARCH, perubahan variansinya, selain dipengaruhi oleh beberapa data acak sebelumnya, juga dipengaruhi oleh sejumlah variansi dari data acak sebelumnya. Model ini dianggap cukup sesuai dalam memodelkan data dengan perubahan variansi yang cukup tinggi, (Surya dan Hariyadi, 2003). Selain GARCH, metode lain yang juga dapat diterapkan adalah jaringan syaraf tiruan dengan *backpropagation*.

Jaringan saraf tiruan (JST) merupakan salah satu sistem pemrosesan informasi yang didesain dengan menirukan cara kerja otak manusia dalam menyelesaikan suatu masalah melalui proses belajar dengan perubahan bobot sinapsisnya. JST mengidentifikasi pola data dari IHSG dengan metode pendekatan pembelajaran atau pelatihan yaitu untuk menentukan bobot penghubung antar simpul yang optimum. Algoritma pelatihan *backpropagation* pertama kali dirumuskan oleh Werbos dan dipopulerkan oleh Rumelhart dan McClelland untuk

dipakai pada JST. Algoritma ini termasuk metode pelatihan *supervised* (terbimbing) dan didesain untuk operasi pada jaringan *feed forward* multi lapis. Metode *backpropagation* ini telah banyak diaplikasikan secara luas, diantaranya di bidang *financial*, pengenalan pola tulisan, pengenalan pola suara, sistem kendali, pengolahan citra medika dan masih banyak lagi, (Martiana, 2007). Metode pembelajaran *backpropagation* yang diterapkan dalam skripsi ini ada tiga, yaitu algoritma *gradient descent* dengan momentum (GDM), algoritma *gradient descent* dengan *adaptive learning rate* dan momentum (GDX), dan algoritma *levenberg-marquadt* (LM). Untuk fungsi aktivasi yang digunakan terbatas pada fungsi aktivasi identitas (*pureline*) dan *sigmoid biner* (*logsig*). Hasil peramalan dari kedua metode tersebut (GARCH dan JST*backpropagation*) akan dibandingkan menggunakan kaidah nilai *mean absolute percentage error* (MAPE) dan *mean square error* (MSE). Tujuannya adalah untuk mengetahui hasil ramalan IHSG dengan metode mana yang memiliki

3

keakuratan ramalan yang lebih baik (lebih mendekati nilai sebenarnya). Data IHSG yang digunakan dalam skripsi ini adalah data IHSG saat penutupan harian pada *trading days* (hari kerja) yang diambil dari bursa efek Indonesia (BEI) sejak 2 Januari 2004 sampai 31 Desember 2008.

### 1.2 Perumusan Masalah

Berdasarkan latar belakang masalah, disusun perumusan permasalahan sebagai berikut

- bagaimanakah model GARCH yang sesuai untuk meramalkan data harga saham IHSG
- bagaimanakah struktur jaringan syaraf tiruan *backpropagation* yang baik untuk meramalkan data IHSG
- seberapa besar keakuratan peramalan IHSG yang dihasilkan oleh model GARCH jika dibandingkan dengan hasil peramalan menggunakan jaringan syaraf tiruan *backpropagation*.

### 1.3 Tujuan

Tujuan dari skripsi ini adalah

- menentukan model GARCH yang sesuai dengan data IHSG
- memperoleh struktur jaringan syaraf tiruan *backpropagation* untuk meramalkan data IHSG
- mendapatkan hasil peramalan data IHSG untuk 1 bulan ke depan yaitu bulan Januari 2009 (19 langkah peramalan) baik menggunakan GARCH maupun jaringan syaraf tiruan.

### 1.4 Manfaat

Manfaat dari skripsi ini adalah

- hasil peramalan IHSG yang diperoleh dapat menjadi wacana dalam mengindikasikan kondisi pasar saham di bursa pada periode selanjutnya
- menambah wawasan dan pengetahuan mengenai jenis teknik peramalan indeks keuangan dan langkah-langkah yang diperlukan.

4

## BAB II

### LANDASAN TEORI

#### 2.1. Log Return dan Fluktuasi Harga

Dalam analisis *financial time series* (data runtun waktu keuangan), yang menjadi pusat perhatian adalah fluktuasi harga yang terjadi. Pada dasarnya

fluktuasi harga merupakan variabel yang menunjukkan naik turunnya harga sebagai dampak dari mekanisme pasar yang ada. Secara umum, fluktuasi harga dapat didefinisikan sebagai perubahan harga terhadap waktu  $t$  atau dapat dituliskan sebagai

$\frac{P_t - P_{t-1}}{P_{t-1}}$ , dengan  $P_t$  adalah harga penutupan IHSG harian pada waktu  $t$ .

Lebih jauh lagi, pendekatan untuk fluktuasi harga adalah perubahan relatif atau *return* yang sering didefinisikan sebagai return penyusun kontinu (*continuously compounded return*) atau *log return*, yaitu

$\ln \left( \frac{P_t}{P_{t-1}} \right)$ . Besaran inilah yang saat ini sering digunakan dalam berbagai analisis lanjut dari *financial time series* yang pada praktiknya jumlahnya sangat besar. Dengan menggunakan parameter ini tentu akan lebih mudah untuk menganalisisnya. Selain itu *log return* sendiri juga bermanfaat untuk menjadikan data stasioner terhadap rata-rata, (Tsay, 2002).

### 2.2. Volatilitas

Volatilitas merupakan sebuah terminologi kepekaan (sensitifitas) sebuah data runtun waktu keuangan. Biasanya besaran ini dinyatakan sebagai standar deviasi dari laju perubahan data runtun waktu keuangan. Pendek kata, volatilitas merupakan ukuran dari ketidakpastian dari data runtun waktu keuangan atau resiko yang mungkin dihadapi investor dalam perdagangan di bursa, (Yohanes dan Situngkir, 2003). Secara sederhana Castiglione (2001) menyatakan volatilitas sebagai harga mutlak dari nilai *return*

$\sigma$ .

5

### 2.3. Fungsi Autokorelasi (*Autocorrelation Function, ACF*)

Kovariansi antara runtun waktu saat  $t$  yaitu  $X_t$ , dengan runtun waktu saat  $t-k$  yaitu  $X_{t-k}$ , didefinisikan sebagai

$$\frac{1}{n} \sum_{t=k+1}^n (X_t - \bar{X})(X_{t-k} - \bar{X})$$
, yang diestimasi oleh

$$\hat{\rho}(k) = \frac{1}{n-k} \sum_{t=k+1}^n (X_t - \bar{X})(X_{t-k} - \bar{X})$$

dengan  $\bar{X}$  adalah nilai *lag*. Autokorelasi merupakan korelasi antara observasi saat  $t$ , dengan observasi saat  $t-k$ , yang terpisah oleh *lag*  $k$  dan didefinisikan sebagai

$$\rho(k) = \frac{\text{Cov}(X_t, X_{t-k})}{\sigma^2}$$

$$\hat{\rho}(k) = \frac{\hat{\text{Cov}}(X_t, X_{t-k})}{s^2}$$

)

-

Autokorelasi diestimasi oleh

$$\hat{\rho}(k) = \frac{\hat{\text{Cov}}(X_t, X_{t-k})}{s^2}$$

# /  
\_0)\* \_ \_ 1 \_ \_ \*) \_ 1 \_  
# \_ /

$X_t$  dan  $X_{t-1}$  adalah observasi dari suatu runtun waktu pada waktu  $t$  dan  $t-1$  adalah rata-rata dari deret runtun waktu. Himpunan bersama dari  $(X_t, X_{t-1})$  untuk berbagai  $lag$  disebut fungsi autokorelasi.

Menurut Pankartz (1983), jika suatu runtun waktu dengan rata-rata stasioner maka estimasi nilai dari ACF turun secara cepat mendekati nol dengan semakin bertambahnya  $lag$ , tetapi jika rata-ratanya tidak stasioner maka estimasi nilai dari ACF turun secara perlahan mendekati nol.

Uji untuk mengetahui apakah beberapa autokorelasi dalam runtun waktu adalah signifikan dapat dilakukan menggunakan uji *Ljung-Box*.

Hipotesis dalam uji *Ljung-Box* adalah

(i).  $H_0: \rho_1 = \rho_2 = \dots = \rho_6 = 0$  (tidak terdapat autokorelasi dalam data runtun waktu),

$H_1: \rho_k \neq 0$  untuk paling tidak sebuah  $k \leq 6$  (terdapat autokorelasi dalam data runtun waktu),

(ii). menghitung statistik uji *Ljung-Box*

$Q_n = -n \sum_{k=1}^n \hat{\rho}_k^2$ :

(.)

$$Q_n = -n \sum_{k=1}^n \hat{\rho}_k^2$$

dengan  $n$  adalah jumlah data,  $k$  adalah nilai  $lag$  dan 6 adalah jumlah  $lag$  maksimum yang ingin diuji,

(iii). statistik uji di atas berdistribusi *Chi-Squared* dengan derajat bebas 6,

(iv).  $H_0$  ditolak jika  $Q_n > \chi^2_{\alpha, 6}$ ;

#### 2.4. Fungsi Autokorelasi Parsial (*Partial Autocorrelation Function, PACF*)

Autokorelasi parsial pada  $lag$  dapat dipandang sebagai korelasi antara observasi  $X_t$  dan  $X_{t-k}$  setelah menghilangkan hubungan linear dari  $X_{t-1}, X_{t-2}, \dots, X_{t-k+1}$  (Wei, 1990). Autokorelasi parsial dari  $X_t$  pada  $lag$  didefinisikan sebagai

$\alpha_{kk}$  ?

@

@

A

$\alpha_{kk} = \frac{\rho_{kk}}{\rho_{k-1, k-1}}$

(

B

$\alpha_{kk} = \frac{\rho_{kk}}{\rho_{k-1, k-1}}$

$\alpha_{kk} = \frac{\rho_{kk}}{\rho_{k-1, k-1}}$  B

$\alpha_{kk} = \frac{\rho_{kk}}{\rho_{k-1, k-1}}$  D

E

E

F

? @ @ @ A

-

$\alpha_{kk} = \frac{\rho_{kk}}{\rho_{k-1, k-1}}$

(

B

$\alpha_{kk} = \frac{\rho_{kk}}{\rho_{k-1, k-1}}$

$\alpha_{kk} = \frac{\rho_{kk}}{\rho_{k-1, k-1}}$  B

( $\hat{\rho}_k$ )<sup>2</sup> (2.1)

Himpunan bersama dari  $\hat{\rho}_k$  disebut sebagai fungsi autokorelasi parsial. Autokorelasi parsial diestimasi oleh  $\hat{\rho}_k$  dengan setiap

(pada persamaan (2.1) diganti oleh autokorelasi sampel,  $\hat{\rho}_k$ , yang bersesuaian.

### 2.5. Model Runtun Waktu dengan Heteroskedastisitas

Model runtun waktu dapat dibagi berdasarkan ketidaksamaan variansi dari residual satu pengamatan ke pengamatan lainnya. Model dengan kesamaan variansi (variansi konstan) disebut homoskedastisitas. Sebaliknya jika variansinya tidak sama menjadi model runtun waktu dengan heterokedastisitas. Pada skripsi ini, digunakan salah satu model runtun waktu dengan heteroskedastisitas yaitu *Generalized Autoregressive Conditional Model* (GARCH).

#### 2.5.1. Model *Generalized Autoregressive Conditional Heterocedasticity* (GARCH)

Model GARCH diperkenalkan pertama kali oleh *Bollerslev (1986)*, dimana model ini adalah perkembangan dari model ARCH. Perbedaannya adalah

dalam model GARCH, perubahan variansinya, selain dipengaruhi oleh beberapa data acak sebelumnya, juga dipengaruhi oleh sejumlah variansi dari data acak sebelumnya.

Diberikan  $\{J_t\}$  merupakan sekumpulan data deret waktu keuangan dengan data sejarah  $K$ , dan  $\{J_t\}$  adalah proses white noise yang berdistribusi normal sehingga proses  $J_t$  didefinisikan sebagai

$$J_t = \epsilon_t \sqrt{M_t}$$

Proses  $J_t$  disebut sebagai GARCH(1,1) jika

$$M_t = \omega + \alpha_1 J_{t-1}^2 + \beta_1 M_{t-1}$$

di mana

$$\omega > 0, \alpha_1 \geq 0, \beta_1 \geq 0, \alpha_1 + \beta_1 < 1$$

dengan syarat  $\omega > 0, \alpha_1 \geq 0, \beta_1 \geq 0, \alpha_1 + \beta_1 < 1$ .

#### Model GARCH(p,q)

Untuk orde yang lebih tinggi yaitu  $p$  dan  $q$  maka model GARCH(1,1) menjadi GARCH(p,q) sebagai berikut

di mana

$$M_t = \omega + \sum_{i=1}^q \alpha_i J_{t-i}^2 + \sum_{j=1}^p \beta_j M_{t-j}$$

$$\omega > 0, \alpha_i \geq 0, \beta_j \geq 0, \sum_{i=1}^q \alpha_i + \sum_{j=1}^p \beta_j < 1$$

$$\omega > 0, \alpha_i \geq 0, \beta_j \geq 0, \sum_{i=1}^q \alpha_i + \sum_{j=1}^p \beta_j < 1$$

$$\omega > 0, \alpha_i \geq 0, \beta_j \geq 0, \sum_{i=1}^q \alpha_i + \sum_{j=1}^p \beta_j < 1$$

$$M_t = \omega + \sum_{i=1}^q \alpha_i J_{t-i}^2 + \sum_{j=1}^p \beta_j M_{t-j}$$

$$\omega > 0, \alpha_i \geq 0, \beta_j \geq 0, \sum_{i=1}^q \alpha_i + \sum_{j=1}^p \beta_j < 1$$

di mana

$$\omega > 0, \alpha_i \geq 0, \beta_j \geq 0, \sum_{i=1}^q \alpha_i + \sum_{j=1}^p \beta_j < 1$$

;

0  
 dengan syarat  
 $Q_{t-1} > 0, Q_{t-1} \neq 0, R_{w,t} = 0$ , untuk  $7 = \dots; H_{t-1} = X$   
 dan  $\# \dots; U_{t-1}$   
 $v_0 Q_{t-1} R_{w,t} T$ .  
 Syarat  $Q_{t-1} > 0, Q_{t-1} \neq 0$  dan  $R_{w,t} = 0$  dibutuhkan untuk memastikan proses memiliki variansi bersyarat positif. Sedang syarat  $\# \dots; U_{t-1}$   
 $v_0 Q_{t-1} R_{w,t} T$   
 menyatakan bahwa  $J_t$  memiliki variansi tidak bersyarat yang berhingga.

**2.5.2. Pengujian Eksistensi Model**

Meskipun dalam *financial time series* sering mengandung efek ARCH dan GARCH, namun tidak menutup kemungkinan efek tersebut tidak ada atau tidak signifikan pada runtun waktu tertentu. Oleh karena itu, perlu dilakukan pemeriksaan eksistensi efek ARCH dan GARCH dalam data runtun waktu. Menurut Warsito dkk. (2006), pemeriksaan eksistensi model ARCH ada dua cara yaitu

8  
 1. memeriksa fungsi yang mengandung efek ARCH. Residunya tidak berkorelasi tetapi kuadrat residunya menunjukkan adanya korelasi yang ditandai dengan nilai-nilai ACF yang signifikan tidak sama dengan nol. Langkah-langkah yang dilakukan adalah

a. mengestimasi  $J_{t-3}$   
 $J_{t-5}$  menggunakan model ARMA atau model regresi biasa sehingga diperoleh model terbaik. Dari model tersebut diperoleh kuadrat residu ( $J_{t-}$ ) dan dihitung variansi sampel dari residu ( $M_{t-}$ ) yang didefinisikan sebagai

$$M_{t-} = \frac{\sum_{j=1}^J J_{t-j}^2}{J}$$

b. menghitung dan membuat plot ACF sampel dari kuadrat residu, nilai ACF tersebut dihitung dengan rumus

$$(\cdot) = \frac{\sum_{j=1}^J J_{t-j}^2}{M_{t-} J}$$

$$= \frac{\sum_{j=1}^J J_{t-j}^2}{M_{t-} J}$$

c. untuk ukuran sampel yang besar, deviasi standar  $(\cdot)$  dapat didekati dengan  $\sqrt{\cdot}$ . Nilai  $(\cdot)$  yang signifikan tidak sama dengan nol mengidentifikasi adanya efek ARCH. Statistik *Ljung-Box* dapat digunakan untuk menguji signifikansi dari koefisien. Bentuk hipotesis-nya adalah

(i).  $H_0: (\cdot) = 0$  ( $\cdot$  \$  $J_{t-}$ )  
 $J_{t-}$  tidak memiliki autokorelasi atau

tidak ada efek ARCH)

$H_0$ : paling sedikit satu ( $\alpha_1, \dots, \alpha_6$ ) ( $J$  memiliki

autokorelasi atau terdapat efek ARCH)

(ii). statistik uji  $Q$  dari *Ljung-Box* adalah

$Q = -\frac{1}{2} \sum_{j=1}^6 \frac{r_j^2}{j}$

;  $r_j$  =

$r_j$

(iii).  $H_0$  ditolak jika  $Q < \chi^2_{\alpha, 6}$

..

## 2. Uji Lagrange Multiplier

Langkah-langkah dalam uji ini adalah

a. menentukan persamaan yang paling sesuai untuk data runtun waktu, dari persamaan tersebut diperoleh kuadrat residu ( $J$

)

b. meregresikan  $J$

pada konstanta dan 6 lag-nya sendiri

$J$

$J$

$J = \alpha_0 + \alpha_1 J_{t-1} + \dots + \alpha_6 J_{t-6} + \epsilon_t$

$\epsilon_t \sim N(0, \sigma^2)$

..

c. menguji hipotesis dengan

(i).  $H_0: \alpha_1 = \alpha_2 = \dots = \alpha_6 = 0$ ; (tidak ada efek ARCH sampai lag 6).

$H_1$ : paling sedikit terdapat satu  $\alpha_j \neq 0$ ,  $j = 1, 2, \dots, 6$

(ii). menggunakan asumsi normalitas, statistik uji yang digunakan adalah

$L = \frac{1}{2} \sum_{t=1}^n \epsilon_t^2$

dengan  $a$  adalah banyaknya residu dan  $b$  adalah ukuran

kecocokan data dengan model

(iii).  $H_0$  ditolak jika  $L < \chi^2_{\alpha, b}$

..

### 2.5.3. Estimasi Parameter

Dalam pembahasan estimasi parameter  $\alpha_0, \alpha_1$ , dan  $\alpha_2$  dalam model

GARCH(p,q) ini, dimisalkan model regresi dari GARCH sedemikian hingga

$c = \alpha_0 - \alpha_1 \alpha_2$

$J = L + fM$

..

$M$

$M = \alpha_1 J_{t-1} + \alpha_2 J_{t-2} + \dots + \alpha_p J_{t-p}$

$\epsilon_t \sim N(0, \sigma^2)$

$R = M$

$\epsilon_t \sim N(0, \sigma^2)$

..

Sehingga terdapat vektor parameter  $gh$  sebagai berikut

$gh = (c, \alpha_1, \alpha_2, \dots, \alpha_p, \alpha_1, \alpha_2, \dots, \alpha_q)$

dengan

$m = p + q$

$Q =$

Q  
 R  
 r \_\_\_\_\_s,t\_\_\_\_\_. \_\_\_ u

\_-

v\_

Untuk mengestimasi parameter dari variansi  $\sigma_0$ ,  $\sigma_1$ , dan  $\sigma_2$  terlebih dahulu dicari gradien dari fungsi likelihood. Menggunakan asumsi normalitas, fungsi densitas probabilitas dari  $J_N K$  adalah

$w_{J_N M}$

----

\_%xM\_

yz{ \_|\_

J\_

%M\_

}\_

Misalkan  $L_T$  menyatakan fungsi likelihood untuk observasi ke- $T$  dan ukuran sampel dinyatakan dari  $t$  sampai dengan  $T$  maka

10

~ \_ \_ \_ w\_{J\_N M}

---

---

%

|\_ %x \_ \_ M\_

J\_

%M\_

}\_

Turunan terhadap parameter mn adalah

€

mn \_

€

M\_

---

M\_

---

mn

|\_

%M\_

J\_

%\_M\_

}\_



$$M_{mn} = \frac{M_{mn} - \frac{M_{mn}^2}{J_{mn}}}{M_{mn} - \frac{M_{mn}^2}{J_{mn}}}$$

$$M_{mn} = \frac{M_{mn} - \frac{M_{mn}^2}{J_{mn}}}{M_{mn} - \frac{M_{mn}^2}{J_{mn}}}$$

$$M_{mn} = \frac{M_{mn} - \frac{M_{mn}^2}{J_{mn}}}{M_{mn} - \frac{M_{mn}^2}{J_{mn}}}$$

$$M_{mn} = \frac{M_{mn} - \frac{M_{mn}^2}{J_{mn}}}{M_{mn} - \frac{M_{mn}^2}{J_{mn}}}$$

Sehingga dari metode Newton-Raphson yang telah dimodifikasi dapat diperoleh bentuk iterasi sebagai berikut

$$v_{u\#}^{k+1} = v_{u\#}^k - \frac{M_{u\#}^k}{M'_{u\#}^k}$$

$$v_{u\#}^{k+1} = v_{u\#}^k - \frac{M_{u\#}^k}{M'_{u\#}^k}$$

$$v_{u\#}^{k+1} = v_{u\#}^k - \frac{M_{u\#}^k}{M'_{u\#}^k}$$

$$v_{u\#}^{k+1} = v_{u\#}^k - \frac{M_{u\#}^k}{M'_{u\#}^k}$$



...

—

—

o\_2.2

Persamaan 2.2 dapat disajikan sebagai matriks

mG

$v^* \text{mG} v \dots k \dots$  .k.

dengan

...

B

—

—

Q

Q

Q

Q

Q

Q

Q

Q

Q

Q

Q

Q

Q

Q

Q

Q

Q

Q

Q

Q

Q

Q

Q

Q

Q



~/  
R  
&  
~/  
Rj.  
.....  
—  
.  
.M  
% ..  
M  
% .. ]  
.M  
% ..  
— ..  
M  
% ..  
.M  
% \_Ms  
% ..  
M  
% .. ]  
.M  
% \_Mt  
% ..  
M  
% ..  
.M%  
% ..  
M%  
% ..  
B  
] .M%  
% ..  
— ..  
M%  
% ..  
B  
] .M%  
% \_M  
% ..  
.M%  
% ..  
B  
] .M%  
% \_Mt%  
% ..  
.M%  
% ..  
B



B  
 .M  
 %  
 M  
 %  
 .M  
 %  
 p  
 M  
 %  
 .M  
 %  
 M  
 %  
 .M  
 %  
 M  
 %  
 .M  
 %  
 p  
 M  
 %  
 .  
 .  
 .  
 .  
 dan  
 11

B  
 Bollerslev (1986) mengusulkan nilai awal dari variansi  $\sigma^2$  dan kuadrat residu  $\sigma^2$  agar diestimasi menggunakan  $\sigma^2$  dan  $\sigma^2$ .

Nilai awal  $\sigma^2$  dan  $\sigma^2$  dapat diperoleh dengan meregresikan  $\sigma^2$  dengan  $\sigma^2$ , untuk  $\sigma^2$  diberi nilai awal nol (Warsito dkk., 2006).

**2.5.4. Pemilihan Model Terbaik**

Menurut Kutlar dan Dönek (2008), model heteroskedastisitas terbaik dapat dipilih berdasarkan nilai *akaike info criterion* (AIC). AIC dirumuskan sebagai

$$AIC = -2 \ln L(\hat{\theta}) + 2k$$

dengan  $L(\hat{\theta})$  adalah fungsi log *likelihood*,  $k$  adalah jumlah parameter yang diestimasi dan  $n$  adalah jumlah observasi.

## 2.6. Jaringan Syaraf Tiruan

Jaringan syaraf tiruan merupakan turunan ilmu dari kecerdasan buatan atau *artificial intelligence*. Pada sub bab ini akan dijelaskan terkait konsep dasar, definisi, komponen, arsitektur, bias dan fungsi aktivasinya.

### 2.5.1. Konsep Dasar dan Definisi Jaringan Syaraf Tiruan

Jaringan syaraf tiruan (JST) merupakan suatu sistem pengolahan informasi secara komputasi yang mampu menirukan jaringan *neuron* (syaraf) biologis manusia. Jaringan ini dikembangkan berdasarkan asumsi sebagai berikut

- a. jaringan ini tersusun atas elemen-elemen pemroses yang disebut *neuron* tiruan
- b. *neuron-neuron* tiruan tersebut saling berhubungan dalam satu jalinan koneksi
- c. pada setiap jalinan koneksi yang dilakukan akan membentuk suatu bobot tertentu yang mengalihkan sinyal yang ditransmisikan
- d. menentukan fungsi aktivasi pada setiap *neuronnya* untuk menentukan sinyal keluaran *neuron* tersebut
- e. memiliki kemampuan belajar dan memperbaiki diri melalui suatu proses pelatihan.

Ciri elemen pemroses jaringan syaraf tiruan yang berasal dari sifat *neuron* biologis adalah sebagai berikut

- a. elemen pemroses menerima banyak sinyal masukan, yang mana pemrosesan informasinya dilakukan secara lokal tetapi dapat mempengaruhi kendali proses secara keseluruhan
- b. sinyal dapat dimodifikasi dengan bobot pada sinapsis penerima, kekuatan dari sinapsis diperoleh dari pengalaman
- c. elemen-elemen pemrosesan menjumlahkan masukan bobot
- d. dengan masukan yang cukup besar, *neuron* mentransmisikan sinyal keluaran
- e. keluaran dari suatu *neuron* dapat menuju ke banyak *neuron* lain (*neuron* cabang).

Selain itu, karakteristik *neuron* tiruan mirip dengan *neuron* biologis yang toleran terhadap adanya kesalahan yang terjadi pada masukan dan pada kerusakan sistem. Hal ini disebabkan adanya proses pelatihan yang dilakukan secara kontinu untuk jenis kasus kesalahan yang besar pada saat perancangan jaringan, (Martiana, 2007).

Menurut *Hecht-Nielsen (1988)*, "Jaringan syaraf tiruan adalah suatu struktur pemroses informasi yang terdistribusi dan bekerja secara paralel, yang terdiri atas elemen pemroses (yang memiliki memori lokal dan beroperasi dengan informasi lokal) yang diinterkoneksi bersama dengan alur sinyal searah yang disebut koneksi. Setiap elemen pemroses memiliki koneksi keluaran tunggal yang bercabang (*fan out*) ke sejumlah koneksi kolateral yang diinginkan (setiap koneksi membawa sinyal yang sama dari keluaran elemen pemroses tersebut). Keluaran dari elemen pemroses tersebut dapat merupakan sembarang jenis persamaan matematis yang diinginkan. Seluruh proses yang berlangsung pada setiap elemen harus benar-benar dilakukan secara lokal, yaitu keluaran hanya bergantung pada nilai masukan pada saat itu yang diperoleh tersimpan dalam memori lokal".

### 2.5.2.

Ada beberapa tipe jaringan syaraf tiruan, namun demikian hampir semua memiliki komponen dasar yang sama. Seperti halnya otak manusia,

jaringan syaraf juga terd  
*neuron-neuron* tersebut.

informasi yang diterima melalui sambungan keluarannya menuju ke  
 yang lain. Pada jaringan syaraf tiruan, hubungan ini dikena  
 Informasi yang diterima

Gambar 2.1 menunjukkan struktur

Gambar 2.1 Struktur Jaringan Syaraf

Melihat pada

sel *neruon* biologis. *Neuron*

sama pula dengan *neuron*

*neuron* dengan bobot masukan tertentu. Input ini akan diproses oleh sua  
 perambatan yang akan menjumlahkan semua nil

penjumlahan ini kemudian akan dibandingkan dengan suatu nilai ambang

(*threshold*) tertentu melalui fungsi aktivasi setiap

melewati suatu nilai ambang tertentu, maka

sebaliknya maka *neuron*

diaktifkan, maka *neuron*

outputnya ke semua *neuron*

Pada jaringan syaraf tiruan,

lapisan-lapisan yang disebut dengan lapisan

pada satu lapisan akan dihubungkan dengan lapisan

sesudahnya. Informasi yang diberikan pada jaringan syaraf tiruan akan

diperoleh melalui koneksi dan nilai yang

### **Komponen Jaringan Syaraf Tiruan**

terdiri dari beberapa *neuron*, dan ada hubungan antara

*Neuron-neuron* tersebut akan mentransformasikan

*neuron*

dikenal dengan nama bobot.

disimpan pada suatu nilai tertentu pada bobot tersebut.

*neuron* pada jaringan syaraf tiruan.

Tiruan

Gambar 2.1, *neuron* buatan ini sebenarnya mirip dengan

*Neuron-neuron* buatan tersebut bekerja dengan cara yang

*neuron-neuron* biologis. Informasi (input) akan dikirim ke

nilai-nilai bobot yang masuk. Hasil

) *neuron*. Apabila suatu input

*neuron* akan diaktifkan, tapi jika

tersebut tidak akan diaktifkan. Apabila *neuron*

tersebut akan mengirimkan output melalui bobot

yang berhubungan dengannya. Demikian seterusnya.

*neuron-neuron* akan dikumpulkan dalam

*neuron*. Biasanya *neuron*

lapisan-lapisan sebelum dan

13

h , *neuron-neuron*

l suatu fungsi

. tersebut

bobot-bobot

engannya. *neuron-neuron*

dirambatkan dari lapisan ke lapisan, mulai dari lapisan input sampai ke lapisan output melalui lapisan yang lainnya tersembunyi. Lapisan tersembunyi (lapisan) tapi untuk lapisan tunggal hanya terdapat satu lapisan yaitu satu buah output.

### 2.5.3.

Faktor terpenting untuk menentukan kelakuan suatu fungsi aktivasi dan pola bobotnya. Ada beberapa ar yaitu dijelaskan sebagai berikut.

#### a. Jaringan dengan Lapisan Tunggal (

Jaringan dengan lapisan tunggal dengan bobot-bobot terhubung. Jaringan ini hanya menerima input kemudian secara langsung akan mengolahnya menjadi output tanpa melalui lapisan tersembunyi.

Gambar 2.2 Jaringan dengan

Pada G

yaitu  $X_1$ ,  $X_2$ , dan  $X$

dan  $Y_2$ . *Neuron-neuron*

besar hubungan antara dua buah bersesuaian.

#### b. Jaringan dengan Lapisan Jamak

Jaringan dengan banyak lapisan memiliki satu atau lebih lapisan yang terletak diantara lapisan input dan output (memiliki satu atau lebih lainnya, yang sering dikenal dengan nama lapisan hanya ada pada jaringan *multi layer*

#### Arsitektur Jaringan Syaraf Tiruan

*neuron*

arsitektur jaringan syaraf tiruan,

#### **Single Layer)**

tunggal hanya memiliki satu lapisan

*Single Layer*

Gambar 2.2 tersebut lapisan input memiliki tiga

,  $X_3$ . Pada lapisan output memiliki dua buah *neuron*

pada kedua lapisan saling berhubungan. Seberapa

*neuron* ditentukan oleh besarnya bobot yang

#### **(Multi Layer)**

14

, (banyak

adalah

itektur gal ambar *neuron*,

yaitu  $Y_1$

esarnya

lapisan tersembunyi).

Umumnya ada lapisan bobot

saling bersebelahan. Jaringan dengan

permasalahan yang lebih sulit dari pada jaringan dengan

saja dengan pembelajaran yang lebih rumit. Namun demikian, pada banyak

kasus, pembelajaran dengan jaringan

menyelesaikan masalah.

Gambar 2.3 Jaringan dengan

Dalam JST sering ditambahkan sebuah unit dengan masukan yang nilainya selalu=1. Unit yang sedemikian itu disebut sebagai sebuah masukan yang nilainya=1 (Siang, J.J. : 1005)

Pada setiap

aktivasi. Fungsi ini adalah fungsi umum yang akan digunakan untuk membawa input menuju output yang diinginkan. Fungsi aktivasi inilah yang akan menentukan besarnya bobot. Contoh dari fungsi aktivasi ini antara lain

### 1. **Linier / Pureline**

Fungsi linier akan membawa input ke output yang sebanding. digambarkan sebagai berikut

Untuk lebih jelasnya bisa dilihat pada Gambar 2.3 bobot-bobot yang terletak diantara dua lapisan yang *multi layer* ini dapat menyelesaikan *single layer*

*multi layer* ini lebih sukses dalam *Multi Layer*

### 2.5.4. **Bias**

bias. Bias dapat dipandang (1005).

### 2.5.5. **Fungsi Aktivasi**

lapisan pada jaringan syaraf tiruan terdapat fungsi fungsi lain

15

2.3.

*layer*, tentu

ias. Fungsi ini

### 2. **Tansig**

Tansig adalah fungsi sebagai fungsi aktivasi

Gambar 2.5 Fungsi Aktivasi Sigmoid bipolar

Fungsi ini akan membawa nilai input pada output dengan menggunakan rumus *hyperbolic*

adalah 1 dan minimal

Algoritma dari fungsi ini adalah

### 3. **Logsig**

*Logsig* atau *log - s*

output dengan penghitungan

Gambar 2.4 Fungsi Aktivasi Linear

*sigmoid tangen (sigmoid bipolar)* yang aktivasi.

*tangen sigmoid*. Nilai maksimal output dari fungsi ini -1.

Algoritma *sigmoid* adalah fungsi aktivasi yang membawa input ke *log-sigmoid*. Nilai outputnya antara 0 hingga 1.

Gambar 2.6 Fungsi Aktivasi *Sigmoid Biner*

16

digunakan



17

Algoritma dari fungsi ini adalah

$$z_j = \sum_i w_{ij} x_i$$

$$e_j = \frac{1}{2} (z_j - t_j)^2$$

Masih ada banyak fungsi transfer yang biasa digunakan di jaringan syaraf tiruan antara lain *hardlim*, *hardlims*, *comset*, *netinv*, *poslin*, *radbas*, *satlin*, *satlins*, *softmax*, *tribas*, dan lain-lain.

## 2.7. Metode *Backpropagation*

Secara garis besar, mengapa algoritma ini disebut sebagai *backpropagation*, adalah karena: ketika JST diberikan pola masukan sebagai pola pelatihan maka pola tersebut diteruskan ke unit-unit pada lapisan tersembunyi kemudian diteruskan ke unit-unit pada lapisan keluaran. Unit-unit pada lapisan keluaran memberikan tanggapan yang disebut keluaran JST. Saat keluaran JST tidak sama dengan target yang diinginkan maka keluaran akan disebarkan mundur (backward) ke unit – unit pada lapisan tersembunyi dan diteruskan ke unit – unit pada lapisan masukan (Martiana, 2007).

### 2.6.1. Metode Pembelajaran *Backpropagation*

Pembelajaran *backpropagation* menggunakan metode pencarian titik minimum untuk mencari bobot dengan eror minimum. Dalam proses pencarian ini terdapat dua macam mode yaitu mode *incremental* dan mode kelompok. Pada mode *incremental*, bobot diubah setiap kali pola masukan diberikan ke jaringan. Sebaliknya, pada mode kelompok, bobot diubah setelah semua pola masukan diberikan ke jaringan. Eror (dan suku perubahan bobot) yang terjadi dalam setiap pola masukan dijumlahkan untuk menghasilkan bobot baru. *Matlab* menggunakan mode pembelajaran kelompok dalam iterasinya. Perubahan bobot dilakukan *perepoch*, (Haris, 2005).

Algoritma *backpropagation* standar/*gradient descent* (GD) memakai algoritma penurunan gradien standar (*gradient descent algorithm*). Bobot dan bias diubah pada arah dimana untuk kerja fungsi menurun paling cepat, yaitu dalam arah negatif gradiennya. Dalam *Matlab*, algoritma *backpropagation* standar

dilakukan dengan fungsi *traingd*. Parameter metode ini yang ada dalam *Matlab*, dan nilai defaultnya adalah

1. net.trainParam.epochs.100; jumlah *epoch* maksimum
2. net.trainParam.goal 0; *goal* yang diharapkan
3. net.trainParam.lr 0.01; *learning rate*
4. net.trainParam.max\_fail 5; jumlah maksimum kegagalan validasi
5. net.trainParam.mc 0.9; konstanta momentum
6. net.trainParam.min\_grad 1e-10; *gradient* kinerja minimum
7. net.trainParam.show 25; jumlah *epoch* yang akan ditunjukkan kemajuannya
8. net.trainParam.time inf; jumlah waktu pembelajaran maksimum (dalam detik).

Metode *backpropagation* standar sering kali terlalu lambat. Beberapa modifikasi dilakukan dengan cara mengganti fungsi pembelajarannya. Secara umum, modifikasi dapat dikelompokkan dalam dua kategori. Kategori pertama menggunakan teknik *heuristik*, yang dikembangkan dari metode penurunan

tercepat yang dipakai dalam *backpropagation* standar. Kategori kedua menggunakan metode penurunan tercepat dan juga optimasi numerik, (Haris, 2006).

Metode *backpropagation* memiliki banyak variasi metode pembelajaran. Adapun metode yang dipakai dalam bahasan ini adalah

1. algoritma *gradient descent* dengan momentum (GDM)
2. algoritma *gradient descent* dengan *Adaptive Learning Rate* dan momentum (GDX)
3. algoritma *Levenberg-Marquadt* (LM).

#### **2.6.1.1. Algoritma Gradien Descent dengan Momentum (GDM)**

Algoritma ini memakai teknik *heuristik*, yaitu memakai analisis kinerja pada algoritma *steepest (gradient) descent standard* dengan menambahkan momentum. Dengan momentum, perubahan bobot tidak hanya didasarkan pada error *epoch* saat itu. Perubahan bobot saat ini dilakukan dengan memperhitungkan juga perubahan bobot pada *epoch* sebelumnya. Dengan demikian kemungkinan

19  
terperangkap ke titik minimum lokal dapat dihindari. Momentum bernilai dari 0 sampai 1. Momentum bernilai 0 berarti perubahan bobot hanya berdasarkan *epoch* saat ini.

Dalam *Matlab*, algoritma GDM dilakukan dengan fungsi *traingdm*.

Parameter khusus metode ini yang ada dalam *Matlab*, dan nilai *defaultnya* adalah `net.trainParam.mc` 0.9 (untuk konstanta momentum). Parameter lainnya seperti fungsi *traingd*.

#### **2.6.1.2. Algoritma Gradient Descent dengan Adaptive Learning Rate dan Momentum (GDX)**

Algoritma ini memakai teknik *heuristik*, yaitu memakai analisis kinerja pada algoritma *steepest (gradient) descent standard* dengan memakai learning rate dan momentum. Fungsi ini akan memperbaiki bobot-bobot berdasarkan *gradient descent* dan *learning rate* yang bersifat *adaptive* seperti *traingda*, dan juga menggunakan momentum seperti *traingdm*. Learning Rate dapat diubah sesuai eror proses pembelajaran. Jika eror sekarang lebih besar dibandingkan eror sebelumnya, maka *learning rate* diturunkan. Jika sebaliknya, maka *learning rate* dinaikkan.

Penggunaan *adaptive learning rate* dikombinasikan dengan momentum. Fungsi pelatihan ini memiliki kecepatan pelatihan yang tinggi sehingga dipakai sebagai *default* dalam pembelajaran *backpropagation* dalam *Matlab*. Algoritma ini juga disebut *SuperSAB (Super Self-Adapting Backpropagation)*, (Hristev, 1998).

Dalam *Matlab*, algoritma GDX dilakukan dengan fungsi *traingdx*.

Parameter khusus metode ini yang ada dalam *Matlab*, dan nilai *defaultnya*

1. `net.trainParam.lr_inc` 1.05; rasio untuk menaikkan *learning rate*
2. `net.trainParam.lr_dec` 0.7; rasio untuk menurunkan *learning rate*
3. `net.trainParam.max_perf_inc` 1.04; kinerja kenaikan maksimum
4. `net.trainParam.mc` 0.9; konstanta momentum.

Parameter lainnya seperti fungsi *traingd*.

20

#### **2.6.1.3. Algoritma Levenberg-Marquadt (LM)**

Seperti metode quasi-Newton, algoritma *levenberg marquadt* didesain dengan menggunakan pendekatan turunan kedua tanpa harus menghitung matriks

*Hessian*. Apabila jaringan syaraf tiruan *feedforward* menggunakan fungsi kinerja *sum of square*, maka matriks *Hessian*  $H$  dapat didekati sebagai  $K \frac{\partial^2 J}{\partial w^2}$ .

Dan gradien dapat dihitung menggunakan persamaan di bawah ini.

$$\frac{\partial J}{\partial w} = -e^T J$$

dengan  $J$  adalah matriks *Jacobian* yang berisi turunan pertama dari eror jaringan terhadap bobot, dan  $e$  adalah suatu vektor yang berisi eror jaringan. Matriks *Jacobian* dapat dihitung dengan teknik *backpropagation* standar yang lebih sederhana dibanding menghitung matriks *Hessian*.

Algoritma *levenberg marquadt* menggunakan pendekatan matriks *Hessian* berikut ini,

$$d^{*} = -d \frac{\partial J}{\partial w} \frac{\partial^2 J}{\partial w^2}^{-1} \frac{\partial J}{\partial w}$$

Ketika konstanta  $\alpha$  adalah 0 (nol), algoritma ini akan seperti metode Newton, menggunakan pendekatan matriks *Hessian*. Untuk  $\alpha$  yang besar, algoritma ini menjadi *gradient descent* dengan jumlah iterasi yang lebih kecil. Metode Newton lebih cepat dan lebih akurat dalam mendekati nilai eror minimum, jadi tujuan algoritma ini adalah merubah metode Newton menjadi secepat mungkin. Oleh karena itu,  $\alpha$  berkurang setelah setiap *step* berhasil (mengurangi kinerja fungsi) dan akan bertambah hanya ketika untuk sesaat iterasinya meningkatkan kinerja fungsi. Di sini, kinerja fungsi akan selalu dikurangi pada setiap iterasi dari algoritma, (*Matlab Help*).

### 2.6.2. Notasi dalam Backpropagation

Dimisalkan  $K = \frac{\partial^2 J}{\partial w^2}$

$$k = \frac{\partial J}{\partial w}$$

$$k = \frac{\partial J}{\partial w} dv$$

$$; = \frac{\partial J}{\partial w}$$

$; =$  adalah himpunan pasangan pola

masukan dan target dengan banyak pola  $= q$ . Menurut Kusumadewi (2002), untuk satu pasangan pola masukan dan target didefinisikan

$$Z^a = \{ \frac{\partial^2 J}{\partial w^2} \frac{\partial J}{\partial w} \frac{\partial J}{\partial w} \}$$

$$2^a = \{ \frac{\partial J}{\partial w} \}$$

$$\mu = \{ \frac{\partial J}{\partial w} \}$$

$$1^a = \{ \frac{\partial J}{\partial w} \}$$

$$0^a = \{ \frac{\partial J}{\partial w} \}$$

$$\mu = \{ \frac{\partial J}{\partial w} \}$$

$$\frac{1}{4} = \{ \frac{\partial J}{\partial w} \}$$

$$\frac{1}{4} \mu = \{ \frac{\partial J}{\partial w} \}$$

$$\mu = \{ \frac{\partial J}{\partial w} \}$$

$$0^a = \{ \frac{\partial J}{\partial w} \}$$

$$\mu = \{ \frac{\partial J}{\partial w} \}$$

$$; = \{ \frac{\partial J}{\partial w} \}$$

### 2.6.3. Fase Pelatihan Backpropagation

Fase pelatihan *backpropagation* dengan  $n$  unit masukan (ditambah sebuah bias), sebuah lapisan tersembunyi yang terdiri dari  $p$  unit tersembunyi (ditambah sebuah bias), serta  $m$  unit keluaran (Fausset, L. : 1994).

a. Fase I : Propagasi maju dari pola masukan

Selama propagasi maju, setiap unit masukan  $X_i$  dengan  $i = 1, \dots, n$  menerima masukan  $x_i$  dan meneruskan ke setiap unit tersembunyi  $Z_j$  dengan  $j = 1, \dots, p$ . Setiap unit tersembunyi menghitung nilai aktivasi  $z_j$  dengan fungsi aktivasi yang ditentukan dan meneruskan  $z_j$  ke setiap unit keluaran  $Y_k$  dengan  $k = 1, \dots, m$ . setiap unit keluaran menghitung aktivasinya dengan fungsi aktivasi yang ditentukan untuk menghasilkan keluaran jaringan  $y_k$ . Selanjutnya setiap unit keluaran membandingkan  $y_k$  dengan nilai target yang harus dicapai  $t_k$ . Selisih  $t_k - y_k$  adalah kesalahan yang terjadi. Jika kesalahan ini lebih kecil dari batas toleransi yang ditentukan, maka epoch dihentikan. Sebaliknya ketika kesalahan masih lebih besar dari batas toleransinya, maka bobot dalam jaringan akan diperbaiki untuk mengurangi kesalahan yang terjadi.

22

### b. Fase II : Propagasi mundur error

Berdasarkan kesalahan lalu  $\delta$  dihitung.  $\delta$  digunakan untuk mendistribusikan kesalahan (di unit keluaran  $Y_k$ ) kembali ke semua unit tersembunyi yang terhubung langsung dengan  $c$ ).  $\delta$  juga digunakan untuk memperbaiki bobot-bobot diantara lapisan keluaran dan lapisan tersembunyi. Dengan cara yang sama,  $\mu$  dihitung untuk setiap unit tersembunyi  $Z_j$ .  $\mu$  digunakan untuk memperbaiki bobot-bobot diantara lapisan tersembunyi dan lapisan masukan.

### c. Fase III perubahan bobot

Setelah semua faktor  $m$  dihitung, bobot semua lapisan diperbaiki bersamaan. Perubahan bobot  $w_{kj}$  (dari unit tersembunyi  $Z_j$  ke unit keluaran  $Y_k$ ) didasarkan atas  $m$ . Perubahan bobot  $v_{ij}$  (dari unit masukan  $X_i$  ke unit tersembunyi  $Z_j$ ) didasarkan atas  $m_w$ .

Pada fase pengujian hanya digunakan salah satu fase dari pelatihan yaitu alur maju (propagasi maju). Berikut contoh langkah-langkah dalam pelatihan dalam *backpropagation* dengan satu lapisan tersembunyi dengan fungsi aktivasi *sigmoid biner* dan *pureline*, (Kusumadewi, 2002).

Langkah 1 : Inisialisasi bobot (dipilih nilai yang terkecil).

Langkah 2 : Jika kondisi tidak tercapai lakukan langkah 3-10.

Langkah 3 : Untuk setiap pasangan pelatihan lakukan langkah 4-9.

#### Propagasi maju :

Langkah 4 : Setiap unit masukan ( $X_i, i=1, \dots, n$ ) menerima sinyal  $x_i$  dan menghantarkan sinyal ini ke semua unit di lapisan di atasnya (lapisan tersembunyi).

Langkah 5 : Setiap unit tersembunyi ( $Z_j, j=1, \dots, p$ ) jumlahkan bobot masukannya,  $\hat{A} \hat{A} te\_w \_ \_ w- \_ \# dv\_wv$

$jv$

0-

Menghitung  $z_j$  dengan fungsi aktivasi yang sudah ditentukan.

a. Dengan fungsi aktivasi pureline

$\hat{A} w \_ w l \hat{A} \hat{A} te\_wp \_ \_ w- \_ \# dv\_wv$

$jv$

0.

b. Dengan fungsi aktivasi sigmoid biner

23

$\hat{A} w \_ w l \hat{A} \hat{A} te\_wp \_ \_$

\* $\sum_{j=1}^n z_j$ .

Untuk setiap  $z_j$ , selanjutnya diteruskan ke semua unit keluaran.

Langkah 6 : Setiap unit keluaran ( $Y_k, k = 1, 2, \dots, m$ ) jumlahkan bobot sinyal masukannya

$$c_j \cdot w_{kj} + \theta_k$$

Menghitung  $Y_k$  dengan fungsi aktivasi.

a. Fungsi aktivasi pureline

$$Y_k = \begin{cases} 1 & \text{if } \sum w_{kj} c_j + \theta_k \geq 0 \\ 0 & \text{otherwise} \end{cases}$$

b. Fungsi aktivasi sigmoid biner

$$Y_k = \frac{1}{1 + e^{-\sum w_{kj} c_j + \theta_k}}$$

**Propagasi mundur :**

Langkah 7 : Setiap unit keluaran ( $Y_k, k = 1, 2, \dots, m$ ) menerima pola target yang saling berhubungan pada masukan pola pelatihan, hitung kesalahan (error).

$$e_k = t_k - Y_k$$

Menghitung gradient (turunan pertama) negative  $E$

$$-\frac{\partial E}{\partial Y_k}$$

$$= Y_k(1 - Y_k)$$

q

$$-\frac{\partial E}{\partial w_{kj}} = e_k \cdot c_j$$

r

$$-\frac{\partial E}{\partial \theta_k}$$

u

$$= \sum_{k=1}^m e_k \cdot w_{kj}$$

v

$$-\frac{\partial E}{\partial w_{kj}} = e_k \cdot c_j$$

w

$$= \sum_{k=1}^m e_k \cdot c_j$$

$\bar{E}_j^w$   
 $\bar{c}_j^w$   
 a. Dengan fungsi aktivasi pureline diperoleh

$$\bar{E}_j^w = \sum_{i=0}^i \bar{c}_i^w \cdot \bar{A}_i^w$$

atau dapat ditulis menjadi  
 24

$$m) \bar{E}_j^w = \sum_{i=0}^i \bar{c}_i^w$$

Hitung  $\bar{E}_j^w$  dengan laju  $\eta$  (untuk memperbaiki bobot nantinya)  
 $\bar{E}_j^w \leftarrow \bar{E}_j^w - \eta \cdot Q_j$

$$\bar{E}_j^w = \sum_{i=0}^i Q_i \cdot \bar{c}_i^w$$

$r = \sum_{i=0}^i Q_i \cdot m_i \cdot \bar{A}_i^w$   
 set  $t = \eta$  &  $\hat{I}_s, t_H = \eta$  &  $X =$

b. Dengan fungsi aktivasi sigmoid biner

$$\bar{E}_j^w = \sum_{i=0}^i \bar{c}_i^w \cdot \text{lc}_i^w \cdot \bar{c}_i^w \cdot p \cdot \bar{A}_i^w$$

atau dapat ditulis menjadi

$$m) \bar{E}_j^w = \sum_{i=0}^i \bar{c}_i^w \cdot \text{lc}_i^w \cdot \bar{c}_i^w \cdot p$$

Hitung  $\bar{E}_j^w$  dengan laju  $\eta$   
 $\bar{E}_j^w \leftarrow \bar{E}_j^w - \eta \cdot Q_j$

$$\bar{E}_j^w = \sum_{i=0}^i Q_i \cdot \bar{c}_i^w \cdot \text{lc}_i^w \cdot \bar{c}_i^w \cdot p \cdot \bar{A}_i^w$$

$r = \sum_{i=0}^i Q_i \cdot m_i \cdot \bar{A}_i^w$   
 set  $t = \eta$  &  $\hat{I}_s, t_H = \eta$  &  $X =$

Menghitung  $\bar{E}_j^-$  yang nanti akan digunakan untuk merubah  $\bar{E}_j^-$   
 $\bar{E}_j^- = \sum_{i=0}^i Q_i \cdot m_i$

Langkah 8 : Setiap unit lapisan tersembunyi ( $Z_j, j=1, \dots, p$ ) jumlahkan hasil perubahan masukan dari unit-unit lapisan di atasnya.

$$m \hat{A}_{te_w} = m \bar{E}_j^w$$

Menghitung gradien (turunan pertama) negative  $E$

$$\bar{w}_v$$

—  
 \_wv  
 q  
 %  
 :\_) \_c)\_  
 i  
 )0  
 r

— i  
 iÉB  
 \_u  
 # l) \_w\_cÂte\_)\_p\_i  
 )0 v  
 25

—  
 \_wv  
 :\_) \_w\_cÂte\_)  
 i  
 )0  
 \_wk\_cÂte\_)\_

—  
 \_wv  
 cÂte\_)\_

a. Digunakan fungsi aktivasi *pureline*

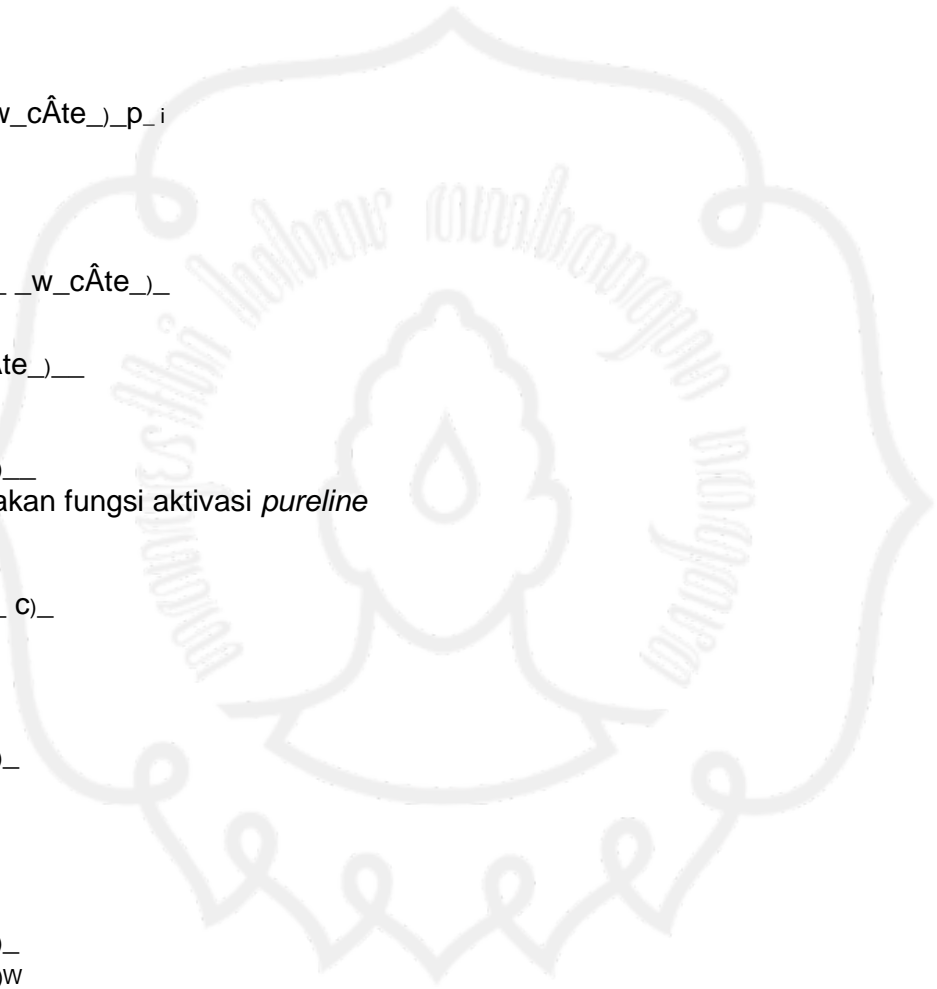
—  
 \_wv  
 :\_) \_c)\_

—  
 \_wv  
 i  
 )0  
 cÂte\_)\_  
 :m)

—  
 \_wv  
 i  
 )0  
 cÂte\_)\_  
 :m)Éw

—  
 \_wv  
 i  
 )0  
 Áw\_  
 :m)É)wwk\_ÁÂte\_)\_

—  
 \_wv  
 i  
 )0  
 ÁÂte\_w\_



$\frac{d}{dt} \int_V \rho \mathbf{v} \cdot d\mathbf{V}$

i

)0

r dv

atau dapat ditulis menjadi

$\frac{d}{dt} \int_V \rho \mathbf{v} \cdot d\mathbf{V}$

i

)0

r

Menghitung  $\int_V \rho \mathbf{v} \cdot d\mathbf{V}$  dengan laju

$\frac{d}{dt} \int_V \rho \mathbf{v} \cdot d\mathbf{V}$

-

$\frac{d}{dt} \int_V \rho \mathbf{v} \cdot d\mathbf{V}$

$\frac{d}{dt} \int_V \rho \mathbf{v} \cdot d\mathbf{V}$

i

)0

$\frac{d}{dt} \int_V \rho \mathbf{v} \cdot d\mathbf{V}$

$\frac{d}{dt} \int_V \rho \mathbf{v} \cdot d\mathbf{V}$

set  $\frac{d}{dt} \int_V \rho \mathbf{v} \cdot d\mathbf{V}$  &  $\frac{d}{dt} \int_V \rho \mathbf{v} \cdot d\mathbf{V}$  &  $\frac{d}{dt} \int_V \rho \mathbf{v} \cdot d\mathbf{V}$

b. Dengan fungsi aktivasi sigmoid biner

-

$\frac{d}{dt} \int_V \rho \mathbf{v} \cdot d\mathbf{V}$

$\frac{d}{dt} \int_V \rho \mathbf{v} \cdot d\mathbf{V}$

i

)0

-

$\frac{d}{dt} \int_V \rho \mathbf{v} \cdot d\mathbf{V}$

$\frac{d}{dt} \int_V \rho \mathbf{v} \cdot d\mathbf{V}$

$\frac{d}{dt} \int_V \rho \mathbf{v} \cdot d\mathbf{V}$

$\frac{d}{dt} \int_V \rho \mathbf{v} \cdot d\mathbf{V}$

$\frac{d}{dt} \int_V \rho \mathbf{v} \cdot d\mathbf{V}$

)0

26

-

$\frac{d}{dt} \int_V \rho \mathbf{v} \cdot d\mathbf{V}$

$\frac{d}{dt} \int_V \rho \mathbf{v} \cdot d\mathbf{V}$

$\frac{d}{dt} \int_V \rho \mathbf{v} \cdot d\mathbf{V}$

$\frac{d}{dt} \int_V \rho \mathbf{v} \cdot d\mathbf{V}$

i

)0

$\frac{d}{dt} \int_V \rho \mathbf{v} \cdot d\mathbf{V}$

$\frac{d}{dt} \int_V \rho \mathbf{v} \cdot d\mathbf{V}$

i

)0

$\frac{d}{dt} \int_V \rho \mathbf{v} \cdot d\mathbf{V}$

$\frac{d}{dt} \int_V \rho \mathbf{v} \cdot d\mathbf{V}$

i

)0

$\frac{d}{dt} \int_V \rho \mathbf{v} \cdot d\mathbf{V}$

i



)0

r\_dv

atau dapat ditulis menjadi

$m_w = q \cdot m \cdot \dot{E}(w_c) \cdot c$

i

)0

\_r\_

Menghitung  $w_v$  dengan laju  $Q$

$w_v = Q$

—

\_wv

$Q \cdot \dot{E}(w_c)$

i

)0

$c) \cdot dv \times$

$Q \cdot m_w \cdot dv$

Terakhir, menghitung  $w$ - yang digunakan untuk merubah  $w$  :

$w_v = Q \cdot m_w$

#### **Perubahan bobot:**

Langkah 9 : Setelah semua target dan input selesai dilatih dan dihitung masing-masing

besar perubahan bobotnya pada setiap unit. Langkah selanjutnya adalah merubah nilai bobot.

Langkah 10 : Proses terhenti jika maksimum *epoch* tercapai.

#### **2.6.4. Fungsi Aktivasi dalam Backpropagation**

Dalam *backpropagation*, fungsi aktivasi yang dipakai harus memenuhi beberapa syarat sebagai berikut

1. kontinu

27

2. memiliki turunan pertama

3. merupakan fungsi yang tidak turun.

Salah satu fungsi yang memenuhi ketiga syarat tersebut sehingga sering dipakai adalah fungsi *sigmoid biner* yang memiliki *range* (0,1). Fungsi lain yang sering dipakai adalah fungsi *sigmoid bipolar* dengan *range* (-1,1). Fungsi sigmoid memiliki nilai maksimum 1. Untuk pola yang targetnya lebih dari 1, pola masukan dan keluaran harus terlebih dahulu ditransformasi sehingga semua polanya memiliki *range* yang sama seperti fungsi *sigmoid* yang dipakai, (Anugerah, 2007).

Sesuai dengan batasan masalah, pada jaringan syaraf tiruan

*backpropagation* akan digunakan fungsi aktivasi *sigmoid biner* dan *pureline*.

Dimana data harus ditransformasi terlebih dahulu dalam *range* [0.1:0.9] untuk mencegah nilai berada di asimtot *biner*.

#### **2.6.5. Backpropagation dalam Peramalan**

Ada beberapa langkah yang harus ditempuh dalam meramalkan indeks keuangan dengan metode JST *backpropagation*.

##### **1. Transformasi data**

Sebelum melakukan pelatihan pada jaringan yang akan digunakan untuk peramalan terlebih dahulu dilakukan transformasi data. Transformasi data diperlukan agar kestabilan taburan data dapat dicapai sekaligus untuk menyesuaikan nilai data dengan *range* fungsi aktivasi yang digunakan dalam

jaringan (Siang, 2005:121).

Pada skripsi ini digunakan fungsi aktivasi *sigmoid biner* yang memiliki range (0:1) sehingga data harus ditransformasikan terlebih dahulu ke dalam range ini. Untuk mencegah nilai berada di asimtot *biner* maka data ditransformasi ke dalam range [0.1:0.9]. Melihat pada Gambar 2.6 untuk fungsi aktivasi *sigmoid biner (log-sigmoid)*, nilai tidak akan pernah menyentuh 0 dan 1.

Berikut adalah rumus transformasi datanya

28

$$\frac{1}{1 + e^{-x}}$$

$$\frac{1}{1 + e^{-x}}$$

$$\frac{1}{1 + e^{-x}}$$

$$\frac{1}{1 + e^{-x}}$$

$$\frac{1}{1 + e^{-x}}$$

$$\frac{1}{1 + e^{-x}}$$

$$\frac{1}{1 + e^{-x}}$$

$$\frac{1}{1 + e^{-x}}$$

$$\frac{1}{1 + e^{-x}}$$

$$\frac{1}{1 + e^{-x}}$$

$$\frac{1}{1 + e^{-x}}$$

$$\frac{1}{1 + e^{-x}}$$

$$\frac{1}{1 + e^{-x}}$$

$$\frac{1}{1 + e^{-x}}$$

$$\frac{1}{1 + e^{-x}}$$

$$\frac{1}{1 + e^{-x}}$$

$$\frac{1}{1 + e^{-x}}$$

$$\frac{1}{1 + e^{-x}}$$

$$\frac{1}{1 + e^{-x}}$$

$$\frac{1}{1 + e^{-x}}$$

$$\frac{1}{1 + e^{-x}}$$

$$\frac{1}{1 + e^{-x}}$$

$$\frac{1}{1 + e^{-x}}$$

$$\frac{1}{1 + e^{-x}}$$

$$\frac{1}{1 + e^{-x}}$$

$$\frac{1}{1 + e^{-x}}$$

$$\frac{1}{1 + e^{-x}}$$

$$\frac{1}{1 + e^{-x}}$$

$$\frac{1}{1 + e^{-x}}$$

$$\frac{1}{1 + e^{-x}}$$

$$\frac{1}{1 + e^{-x}}$$

$$\frac{1}{1 + e^{-x}}$$

$$\frac{1}{1 + e^{-x}}$$

$$\frac{1}{1 + e^{-x}}$$

$$\frac{1}{1 + e^{-x}}$$

$$\frac{1}{1 + e^{-x}}$$

$$\frac{1}{1 + e^{-x}}$$

$$\frac{1}{1 + e^{-x}}$$

$$\frac{1}{1 + e^{-x}}$$

$$\frac{1}{1 + e^{-x}}$$

$$\frac{1}{1 + e^{-x}}$$

$$\frac{1}{1 + e^{-x}}$$

$$\frac{1}{1 + e^{-x}}$$

$$\frac{1}{1 + e^{-x}}$$

$$\frac{1}{1 + e^{-x}}$$

$$\frac{1}{1 + e^{-x}}$$

$$\frac{1}{1 + e^{-x}}$$

$$\frac{1}{1 + e^{-x}}$$

$$\frac{1}{1 + e^{-x}}$$

dengan  $l$  : nilai minimum dari seluruh data

$h$  : nilai maksimum dari seluruh data

$\omega$  : nilai tertinggi interval

$\_$  : nilai terendah interval.

## 2. Pembagian data.

Aspek pembagian data harus ditekankan agar jaringan mendapat data pelatihan yang secukupnya dan data pengujian dapat menguji prestasi pelatihan yang dilakukan. Jumlah data yang kurang untuk proses pelatihan akan menyebabkan jaringan tidak dapat mempelajari taburan data dengan baik. Sebaliknya, data yang terlalu banyak untuk proses pelatihan akan melambatkan proses pemusatan (konvergensi). Masalah *overtraining* (data pelatihan yang berlebihan) akan menyebabkan jaringan cenderung untuk menghafal data yang dimasukkan daripada menggeneralisasi, (Anugerah, 2007). Seluruh data yang ada merupakan data pemodelan yang nantinya akan dipakai untuk meramalkan. Data pemodelan ini akan dibagi menjadi dua yaitu data pelatihan dan data pengujian. Komposisi data pelatihan dan pengujian yang akan digunakan adalah : 60% untuk data pelatihan dan 40% untuk data pengujian. Dengan jumlah keseluruhan data IHSG yang digunakan adalah 1208. Hal ini berarti diperoleh sebanyak 725 data pelatihan dan 483 data pengujian.

## 3. Perancangan jaringan yang optimum.

Langkah selanjutnya setelah pembagian data adalah penentuan jumlah unit masukan, jumlah lapisan tersembunyi, jumlah unit lapisan tersembunyi dan jumlah unit lapisan keluaran yang akan digunakan dalam jaringan. Belum ada aturan yang pasti untuk menentukan jumlah lapisan tersembunyi dan jumlah unit dalam setiap lapisan. Yang biasa dilakukan

29

dalam beberapa penelitian, untuk menentukan jumlah unit tersebut digunakan

langkah *trial* (eksperimen) dan *error*.

Penggunaan jaringan dengan dua atau lebih lapisan tersembunyi dalam masalah peramalan kebanyakan tidak memberikan pengaruh yang besar terhadap prestasi jaringan untuk melakukan peramalan. Selain dapat melambatkan proses pelatihan yang disebabkan bertambahnya unit, terlalu banyaknya lapisan tersembunyi akan mengakibatkan masalah *overtrained* yaitu jaringan tidak dapat men-*generalize* dengan baik. Sebuah lapisan tersembunyi sudah cukup bagi *backpropagation* untuk mengenali pola masukan dan target dengan tingkat ketelitian yang ditentukan. (Fausset, L:1994).

Penentuan bilangan unit tersembunyi yang optimum diperoleh secara pengembangan melalui *trial and error* dari t

β% unit sampai n (n

adalah jumlah unit masukan). Dimana untuk variasi unit input yang akan digunakan pada penelitian ini adalah 1, 2, 3, 4, 5, 6, dan 7 unit input. Untuk menghindari kurangnya pembelajaran pola data, khusus unit input yang kurang dari sama dengan 3  $t \leq C$  digunakan aturan unit *hidden* n hingga 2n. Sehingga variasi unit lapisan *hidden* yang digunakan adalah 3, 4, 5, 6, dan 7.

#### 4. Memilih dan Menggunakan Struktur Jaringan yang Optimum

Jaringan yang dibangun akan dinilai keakuratan ramalannya.

Aturan penilaian yang digunakan adalah berdasar nilai *Percentage Error* (PE), *Mean Absolute Percentage Error* (MAPE) dan *Mean Square Error* (MSE). Pendekatan MSE digunakan untuk menilai prestasi jaringan yang dilatih, semakin kecil nilai MSE yang dihasilkan semakin baik prestasi jaringan dalam mempelajari pola data. Ketepatan model diukur secara relatif menggunakan MAPE, PE dan dilihat juga dari nilai MSE-nya. Nilai PE, MAPE dan MSE diperoleh dari persamaan berikut

— —  
\_c\_ cl\_

c\_

\_d\_ \$\$\_à

30

â\_ \_:

N\_\_N

t

j

—  
âa\_ \_

t

:ev

—

j

v0

—

t

:\_c\_ cl\_

$y_t$   
 $y_{t-1}$

dengan  $c_t$  nilai aktual pada waktu  $t$   
 $\hat{c}_t$  nilai ramalan pada waktu  $t$   
 $n$  jumlah data.

Berdasarkan nilai MSE terendah dari proses pelatihan diperoleh jaringan yang optimum. Keakuratan ramalan jaringan dilihat dari nilai PE, MAPE, dan MSE dari proses pengujian.

### 5. Pemilihan Jaringan yang Optimum dan Penggunaannya dalam Peramalan

Langkah-langkah pemilihan jaringan optimum sebagai berikut

- proses pelatihan dilakukan dengan struktur jaringan yang memiliki variasi bilangan lapisan tersembunyi dan unit dalam setiap lapisan. Kemudian berdasarkan kaedah nilai MSE diperoleh jaringan yang optimum
- selanjutnya proses pengujian. Di sini keakuratan ramalan jaringan akan ditentukan berdasarkan nilai PE, MAPE, dan MSE
- peramalan menggunakan struktur jaringan optimum yang telah dipilih.

31

## BAB III

### METODE PENELITIAN

Penelitian ini dilaksanakan dengan metode studi kasus yaitu dengan menganalisa data yang ada dan memodelkannya dengan menggunakan dua buah metode yaitu metode GARCH dan jaringan syaraf tiruan *backpropagation*. Hasil peramalan dari kedua metode dibandingkan berdasarkan nilai MAPE dan MSE. Data yang digunakan adalah data sekunder yang diambil dari data IHSG harian (secara *trading days*) di BEI.

#### A. Analisis Data

##### a) Analisis model GARCH

- Memplot data untuk melihat pola data dan stasioneritasnya.
- Data yang belum stasioner diubah ke dalam bentuk log *return* untuk menstasionerkan data terhadap rata-rata.
- Dengan bantuan *software Matlab* dibuat plot ACF untuk mengidentifikasi korelasi pada log *return* (*return series*).
- Dilakukan uji *Ljung-Box-Pierce* untuk membuktikan adanya autokorelasi. Jika terdapat autokorelasi maka pemodelan runtun waktu dapat dilakukan.
- Identifikasi efek heteroskedastisitas dari residu model rata-rata bersyarat dengan bantuan *software Matlab 7.0.1*. Pada penelitian sebelumnya yang dilakukan oleh Widyanti, untuk membuktikan asumsi heteroskedastisitas perlu dibuat terlebih dahulu model mean bersyarat dengan bantuan *software Eviews 4.1*. Dalam hal ini *software Matlab 7.0.1* telah menyediakan *sintax* untuk uji asumsi tersebut, yaitu menggunakan fungsi *archtest* (berdasarkan uji *Lagrange Multiplier*).
- Overfitting* (pemilihan) model, orde  $p$  dan  $q$  yang digunakan dalam model GARCH bervariasi antara 1 sampai dengan 3, dan diperoleh model GARCH terbaik dengan orde tertentu. Tahap pemilihan model dilakukan menurut kaedah nilai AIC.
- Analisis model.

32

Dengan bantuan *software Matlab* dalam analisis model GARCH dilakukan dalam dua tahap, yaitu

a. tahap Estimasi Parameter (menggunakan *maximum likelihood estimation* dan direpresentasikan dengan fungsi *garchfit* dan *garchdisp* yang ada di *Matlab*) dari model yang terpilih melalui *overfitting*

b. tahap *postestimation* (estimasi akhir). Di sini terdapat 2 buah uji, yaitu

uji autokorelasi pada *residual distandardisasi* untuk pemeriksaan diagnostik model. Uji yang digunakan adalah *Ljung-Box-Pierce Q-Test*

uji efek ARCH pada *residual distandardisasi* untuk mengetahui apakah model GARCH yang digunakan sudah cukup baik.

8. Menghitung hasil ramalan dari pendekatan *return* yang diperoleh.

**b) Simulasi dan rancangan struktur jaringan syaraf tiruan *backpropagation*.**

1. Transformasi data

Berdasarkan fungsi aktivasi yang digunakan yaitu *sigmoid biner*. Berikut adalah rumus transformasi datanya

$$y = \frac{1}{1 + e^{-x}}$$

dengan  $l$  : nilai minimum dari seluruh data

$h$  : nilai maksimum dari seluruh data

$\omega$  : nilai tertinggi interval

$\_$  : nilai terendah interval pembagian data.

33

2. Pembagian data

Seluruh data yang ada merupakan data pemodelan yang nantinya akan dipakai untuk meramalkan. Data pemodelan ini akan dibagi menjadi dua yaitu data pelatihan dan data pengujian. Komposisi data pelatihan dan pengujian yang akan digunakan adalah : 60% untuk data pelatihan dan 40% untuk data pengujian. Dari data IHSG periode 2 Januari 2004 sampai 31 Desember 2008, diperoleh jumlah keseluruhan data adalah 1208. Hal ini berarti terdapat sejumlah 725 data pelatihan dan 483 data pengujian.

3. Perancangan jaringan yang optimum

Langkah selanjutnya setelah pembagian data adalah penentuan jumlah unit masukan, jumlah lapisan tersembunyi, jumlah unit lapisan tersembunyi dan jumlah unit lapisan keluaran yang akan digunakan dalam jaringan.

4. Memilih dan Menggunakan Struktur Jaringan yang Optimum

Jaringan yang dibangun akan dinilai keakuratan ramalannya.

Aturan penilaian yang digunakan adalah berdasar nilai PE, MAPE dan MSE. Pendekatan MSE digunakan untuk menilai prestasi jaringan yang

dilatih semakin kecil nilai MSE yang dihasilkan semakin baik prestasi jaringan dalam mempelajari pola data. Ketepatan model diukur secara relatif menggunakan PE dan dilihat juga dari nilai MSE-nya.

5. Pemilihan Jaringan yang Optimum dan Penggunaannya dalam Peramalan Langkah-langkah pemilihan jaringan optimum sebagai berikut

- a. proses pelatihan dilakukan dengan struktur jaringan yang memiliki variasi bilangan lapisan tersembunyi dan unit dalam setiap lapisan. Berdasarkan kaedah nilai MSE diperoleh jaringan yang optimum
- b. selanjutnya dilakukan proses pengujian. Di sini keakuratan ramalan jaringan akan ditentukan berdasarkan nilai PE, MAPE, dan MSE
- c. peramalan menggunakan struktur jaringan optimum yang telah dipilih

34

## B. Penarikan Simpulan

Setelah hasil peramalan dengan masing-masing metode diperoleh, ditentukan nilai MAPE dan MSE-nya. Nilai MAPE dan MSE yang lebih kecil mengidentifikasi keakuratan hasil ramalan data IHSG yang lebih baik.

35

## BAB IV

### HASIL DAN PEMBAHASAN

#### 4.1. Deskripsi Data

Data di sini adalah data yang diambil dari data IHSG saat *trading days* (hari Senin – Jum'at) di BEJ sejak periode 2 Januari 2004 sampai dengan akhir Desember 2008. Jumlah keseluruhan data adalah 1208 dengan tabel data terlampir. Sifat data dan stasioneritasnya dapat dilihat melalui plot data *financial series* (menggunakan perangkat lunak *Matlab 7.0.1*). Hasil plot data *financial time series* menggunakan *Matlab* dapat dilihat pada Gambar 4.1.

Gambar 4.1 Grafik Data IHSG Periode 2 Januari 2004 Sampai 31 Desember 2008 Dari grafik di atas terlihat bahwa IHSG mengalami fluktuasi dari waktu ke waktu, dan dapat dilihat juga bahwa grafik tersebut menunjukkan adanya *trend* naik dan *trend* turun. Hal ini berarti data IHSG belum stasioner.

#### 4.2. Hasil

Pada sub-bab ini dijelaskan hasil analisis data, baik dengan menggunakan model GARCH maupun jaringan syaraf tiruan *backpropagation*.

Jan 2004 Jan 2005 Jan 2006 Jan2007 Jan 2008

500  
1000  
1500  
2000  
2500  
3000

Exchange Rate  
Indeks Harga Saham Gabungan

36

#### 4.2.1. Model GARCH

Di dalam *Matlab* terdapat tiga tahapan untuk mensimulasikan model GARCH, yaitu *Pre estimation*, Estimasi parameter dan *Postestimation*. Selanjutnya akan dibahas masing-masing tahapannya.

##### 4.2.2.1. Pre Estimation Analysis

Data runtun waktu *financial* terlebih dahulu diubah kedalam bentuk *return series* atau lebih dikenal dengan log *return*. Fungsi *return series* ini dirumuskan sebagai berikut :

Langkah selanjutnya, dilihat apakah *return series* memiliki korelasi atau tidak melalui plot ACF-nya, kemudian asumsi diperkuat dengan melakukan uji menggunakan *Ljung Box Pierce*, dan terakhir dilakukan uji untuk menentukan ada tidaknya efek ARCH pada *return series*.

#### 4.2.2.1.1. Return Series

Berdasarkan plot data pada gambar 4.1 terlihat bahwa grafik datanya mengalami trend naik dan trend turun, sehingga dapat disimpulkan bahwa data belum stasioner. Agar data menjadi stasioner, dalam analisis *financial time series* kita bisa menggunakan *log-return* untuk mempermudah analisis data sekaligus menjadikan data stasioner terhadap rata-rata.

Alasan kenapa *log return* menjadi pilihan utama dalam analisis ini adalah:

1. *Log-return* bersifat bebas skala sehingga lebih obyektif sebagai bahan perbandingan.
2. *Log-return* bersifat stasioner.

Perintah yang digunakan dalam *Matlab* untuk mengubah data kedalam *log-terum (return series)* adalah:

```
>> ihsg = price2ret(ihsg);
```

Untuk memperjelas sifat stasioner dari *return series*, dapat dilihat plot *return series*-nya. Dengan menggunakan *software Matlab* diperoleh *output* seperti terlihat pada Gambar 4.2. Dari garfik pada Gambar 4.2 terlihat bahwa plot *return series*

menunjukkan rata-rata *log- return* yang konsisten (stasioner) dengan nilai yang mendekati nol.

Gambar 4.2 Grafik *Return Series* IHSG Periode 2 Januari 2004 Sampai 31 Desember 2008

#### 4.2.2.1.2. Plot ACF Return Series

Di *Matlab*, perintah untuk membuat plot ACF adalah sebagai berikut

```
>> figure, autocorr(ihsg)
title('ACF with Bounds for Raw Return Series')
```

hasil yang diperoleh dapat dilihat pada Gambar 4.3 di bawah.

Gambar 4.3 Plot ACF *Return Series*

Dapat dilihat pada Gambar 4.3 di atas, *lag* pertama pada plot ACF *return series* signifikan tidak sama dengan 0, hal ini berarti autokorelasi pada *return series* dipenuhi. Untuk membuktikannya dilakukan uji *Ljung Box Pierce* pada *return series*.

```
Jan 2004 Jan 2005 Jan 2006 Jan 2007 Jan 2008
-0.12
-0.1
-0.08
-0.06
-0.04
-0.02
0
0.02
0.04
0.06
0.08
Return
Indeks Harga Saham Gabungan in Return
0 2 4 6 8 10 12 14 16 18 20
-0.2
0
0.2
0.4
0.6
0.8
Lag
Sample Autocorrelation
ACF with Bounds for Raw Return Series
```

38

Digunakan  $H_0$  dan

$H_0$  = tidak terdapat korelasi pada *return series*

$H_1$  = terdapat autokorelasi pada *return series*.

Dengan fungsi *lbqtest* di *Matlab* didapatkan hasil seperti terlihat pada Tabel 4.1.

Tabel 4.1 Hasil Uji Ljung Box Pierce

**Lag pValue Stat Critic Value**

6	0.0001	27.4935	12.5916
12	0.0001	38.3106	21.0261
18	0.0003	45.6239	28.8693
24	0.0005	53.6259	36.4150

Dari output diperoleh nilai *pValue* yaitu 0.0001, 0.0003, dan 0.0005 dimana nilai ini lebih kecil dari \_\_ \_\_ \_\_\_\_, maka dalam uji ini  $H_0$  ditolak atau dengan kata lain terdapat autokorelasi pada *return series*. Berarti model runtun waktu dapat dibuat.

**4.2.2.1.3. Efek Heteroskedastisitas Return Series**

Uji efek ARCH dilakukan dengan menggunakan fungsi *archtest* (dimana fungsi ini didasarkan pada *Engle's ARCH test* 1982), digunakan \_\_ \_\_ \_\_ dan

$H_0$  = tidak terdapat efek ARCH pada data return

$H_1$  = terdapat efek ARCH pada data *return*.

Output uji efek heteroskedastik (*archtest*) ini dapat dilihat pada Tabel 4.2.

Tabel 4.2 Hasil *archtest* Pada *Return Series***Lag pValue Stat Critic Value**

6	0	215.3317	12.5916
12	0	238.7144	21.0261
18	0	246.7501	28.8693
24	0	252.9406	36.4150

Diperoleh nilai *pValue* adalah 0 dan jauh lebih kecil dari \_\_ \_\_ \_\_\_\_, sehingga  $H_0$  ditolak atau dengan kata lain efek ARCH pada *return series* dipenuhi. Hal ini berarti model runtun waktu heteroskedastisitas dapat dibuat.

39

**4.2.2.2. Overfitting Model**

Sebelum melakukan estimasi parameter dan *postestimation* dilakukan *overfitting* model GARCH dengan variasi orde  $p$  dan  $q$  untuk mendapat model GARCH terbaik dengan orde tertentu. Variasi model yang dicobakan adalah: GARCH(1,2), GARCH(2,1), GARCH(2,2), GARCH(3,1), GARCH(3,2), GARCH(1,3), GARCH(2,3), dan GARCH(3,3). Pemilihan model dilakukan melalui perhitungan nilai AIC. Hasil output analisis untuk *overfitting* dapat dilihat di Lampiran 5. Kesimpulan yang dapat diambil dari *overfitting* model GARCH dengan parameter paling berpengaruh adalah GARCH(1,1).

**4.2.2.3. Estimasi Parameter**

Model GARCH yang akan diestimasi di sini adalah model terbaik yang diambil dari hasil *overfitting* menggunakan bantuan *software Matlab* yaitu GARCH(1,1). Dalam mengestimasi parameter model GARCH digunakan fungsi *garchfit* (kaedah yang digunakan dalam fungsi ini adalah *Maximum Likelihood Estimation*). Untuk melihat hasil estimasi digunakan fungsi *garchdisp*, dengan output diperlihatkan pada Tabel 4.3.

Tabel 4.3 Hasil Estimasi Parameter GARCH(1,1)

**Parameter Value Standard Error Statistik T**

K	1.1267e-005	1.793e-006	6.2840
GARCH(1)	0.79419	0.015441	51.4353
ARCH(1)	0.16974	0.018529	9.1611

Dalam *Matlab output* statistik- $T$  digunakan sebagai ukuran nilai



standar deviasi estimasi parameter tidak sama dengan nol. Menggunakan aturan distribusi normal, dapat dilihat bahwa seluruh parameter memiliki nilai statistik  $T$  yang lebih besar dari 2 (digunakan  $Z_{\alpha/2} = Z_{0.05} = 1.96$ ), berarti seluruh parameter signifikan sehingga diperoleh model GARCH(1,1) sebagai berikut:

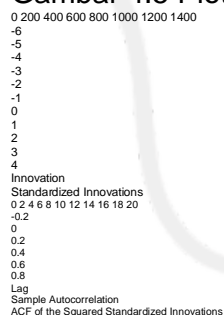
—  
-----  
--

dimana -----  
40

#### 4.2.2.4. Postestimation Analysis

Pada *postestimation* dilakukan pengujian terhadap *residual* (*Innovations*) distandardisasi apakah terdapat efek ARCH atau tidak. Sedangkan uji korelasi serial diberlakukan pada kuadrat *residu* distandardisasinya. Hal ini bertujuan untuk pemeriksaan diagnostik model. Uji yang digunakan adalah uji *Ljung Box Pierce* untuk pengujian korelasi serial dan *archtest* untuk uji efek ARCH. Sebeum dilakukan uji dapat dilihat plot dari *residual* distandardisasi dan ACF *residual* kuadratnya (lihat Gambar 4.4 dan 4.5). Gambar 4.4 menunjukkan bahwa grafik *residual* distandardisasinya stasioner terhadap *mean*. Gambar 4.4 Plot *Standardized Innovations* (*Residual* Distandardisasi) Pada Gambar 4.5 yang merupakan plot ACF dari kuadrat *residual* distandardisasi, dapat dilihat bahwa nilai ACF dari *lag-lag* yang ditampilkan pada plot ACF tidak ada yang signifikan tidak sama dengan nol (tidak memotong garis) sehingga autokorelasi tidak dipenuhi pada kuadrat *residual* distandardisasi. Agar lebih yakin pada hasil ini, dilakukan uji *Ljung Box Pierce*.

Gambar 4.5 Plot ACF Kuadrat *Residual* Distandardisasi



41

Hasil uji *Ljung Box Pierce* menggunakan *Matlab* untuk pemeriksaan autokorelasi (korelasi serial) pada kuadrat *residual* distandardisasi dapat dilihat pada Tabel 4.4.

Table 4.4 Hasil Uji *Ljung Box Pierce* Pada Kuadrat *Residu* Distandardisasi

**Lag H pValue Stat Critic Value**

6 0 0.7741 3.2711 12.5916  
12 0 0.8365 7.3096 21.0261  
18 0 0.9638 8.8185 28.8693  
24 0 0.9342 14.5133 36.4150

Ditentukan

$H_0$  = tidak terdapat korelasi serial pada *residual* distandardisasi

$H_1$  = terdapat korelasi serial pada *residual* distandardisasi.

Dapat dilihat dari Tabel 4.4 diperoleh nilai H adalah 0 artinya  $H_0$

diterima atau dengan kata lain tidak terdapat korelasi serial pada *residual* distandardisasi. Hal ini berarti model cukup baik untuk digunakan dalam peramalan nilai IHSG.

Untuk melihat ada tidaknya efek ARCH dalam *residual* distandardisasi, digunakan fungsi *archtest* dan diperoleh output seperti yang ditunjukkan oleh Tabel 4.5.

Tabel 4.5 Hasil Uji Efek ARCH pada *Residual* Distandardisasi

**Lag H pValue Stat Critic Value**

6 0 0.7705 3.2991 12.5916  
 12 0 0.8597 6.9684 21.0261  
 18 0 0.9789 7.9854 28.8693  
 24 0 0.9622 13.2298 36.4150

Ditentukan

$H_0$  = tidak terdapat efek ARCH pada residual distandardisasi

$H_1$  = terdapat efek ARCH pada *residual* distandardisasi.

Dari output diperoleh nilai H adalah 0 sehingga  $H_0$  diterima atau dengan kata lain tidak terdapat efek ARCH pada *residual* distandardisasi. Berarti model sudah cukup baik.

42

#### 4.2.2.5. Peramalan

Dalam peramalan digunakan model GARCH(1,1) untuk meramalkan data IHSG 19 langkah ke depan atau satu bulan berikutnya yaitu Januari 2009. Menggunakan *Matlab* diperoleh output pendekatan nilai *return* untuk 19 langkah ke depan sebesar 0. Tabel output dari hasil peramalan *return series* dapat dilihat di Lampiran 1. Hasil pendekatan nilai *return* digunakan untuk menghitung nilai peramalan IHSG. Nilai peramalan tersebut diperoleh melalui rumus sebagai berikut

```

---
_!
-
---
_!
-
-
_!
#_#

```

Hasil peramalan menggunakan model GARCH (1,1) diperlihatkan oleh Gambar 4.6.

Gambar 4.6 Hasil Ramalan IHSG Menggunakan GARCH(1,1) dan *JSTbackpropagation*

Tabel hasil perhitungan eror dan PE berdasarkan nilai peramalan yang diperoleh dapat dilihat di Lampiran 2. Berdasarkan nilai eror dan PE diperoleh nilai MSE dan MAPE sebagai berikut

```

$%&
,
_(')#_#*_+
, - - . - - -

```

\$/\_& \_\_\_(  
0120

,

\_3\_ 4 \_ 4

1200

1250

1300

1350

1400

1450

1500

1 2 3 4 5 6 7 8 9 10 11 12 13 14 15 16 17 18 19

Hasil Ramalan dg

GARCH(1,1)

Hasil Ramalan

dengan JSTbackpropagation

Data Aktual

43

#### 4.2.2. Metode Jaringan Syaraf Tiruan *Backpropagation*

Setelah melakukan transformasi data asli pada range [0.1:0.9],

arsitektur jaringan syaraf tiruan *backpropagation* dibangun menggunakan *Matlab* dengan fungsi berikut

*BPNN = newff(minmax(Input), [X1 X2 X3...], {'TF1' 'TF2' 'TF3' ...}, 'train');*

dimana

BPNN : nama jaringan,

Input : nama file masukan (input),

X : menyatakan banyaknya neuron (unit) tiap lapisan, dan jumlah "X" menyatakan banyaknya lapisan,

TF : menyatakan fungsi aktivasi yang dipakai (di sini kita memakai *logsig* dan *pureline*,

*train* : metode pembelajaran yang dipakai (*traingdm*, *traingdx*, dan *trainlm*).

Hasil yang diperoleh melalui beberapa pelatihan dengan penggunaan nilai ambang batas untuk eror minimum sebesar 0.0001 dan variasi unit tiap lapisan serta tiga jenis metode pembelajaran berbeda, didapatkan 5 besar rancangan jaringan optimum. Rancangan terbaik diantara kelima-nya adalah jaringan dengan unit input sejumlah 5, dan jumlah unit tersembunyi adalah 3 unit. Hal ini dikarenakan nilai MSE pada saat pelatihan cukup kecil yaitu 0.000182859, meski bukan yang terkecil akan tetapi nilai MSE pada saat pengujian untuk struktur jaringan ini (5 – 3 – 1) adalah yang terkecil yaitu 0.000141621. Dari tiga metode pembelajaran yang diterapkan, berdasarkan konvergensinya diperoleh yang terbaik adalah metode *levenberg marquadt* karena metode ini memiliki kemampuan yang baik untuk meredam eror saat pelatihan. Untuk lebih jelasnya dapat dilihat Tabel 4.6.

44

Tabel 4.6 Perbandingan Nilai MSE Saat Pelatihan dan Pengujian dari 5 Terbaik Struktur Jaringan (Masih Data Transformasi)

**Struktur**

**Jaringan**

**Train Fungsi Aktivasi**

### Nilai MSE

Pelatihan Pengujian

2 - 3 - 1 LM pureline - logsig 0.000185063 0.060886486

4 - 3 - 1 LM logsig - logsig 2.71E-05 0.004124855

5 - 3 - 1 LM pureline - logsig 0.000182859 **0.000141621**

7 - 5 - 1 LM logsig - logsig 2.65E-05 0.059298874

7 - 3 - 1 LM logsig - logsig 2.56E-05 0.009387664

7 - 7 - 1 LM logsig - logsig 2.47E-05 0.007155415

Untuk perbandingan nilai PE, MAPE, dan MSE setelah pengujian dari 5 besar struktur jaringan dapat dilihat di lampiran 4. Hasil ramalan setelah transformasi balik dengan struktur jaringan terpilih diperlihatkan oleh Gambar 4.6. Tabel hasil peramalan beserta nilai eror dan PE untuk metode jaringan syaraf tiruan *backpropagation* dalam meramalkan data IHSG dapat dilihat di Lampiran 3. Berdasarkan nilai eror dan PE diperoleh nilai MSE dan MAPE sebagai berikut

( )# \_ #\* \_ +  
 . - 55  
 \$/ \_ & \_ (  
 0120

\_3\_4\_4.

### 4.3. Pembahasan

Dari rancangan jaringan syaraf tiruan optimum diperoleh nilai MSE saat pelatihan sebesar 0.00018. Ini menggambarkan bahwa jaringan mampu mempelajari nilai taburan data dengan baik berdasarkan 725 pola data yang diberikan. Nilai MSE setelah pengujian yang diperoleh sebesar 0.00014. Nilai ini sedikit lebih kecil dibandingkan dengan MSE saat pelatihan. Hal ini bisa jadi disebabkan oleh keberhasilan pembagian komposisi data untuk pelatihan dan pengujian berhasil dengan baik. Dan transformasi yang dilakukan pada *range* [0.1:0.9] berdasarkan fungsi aktivasi *logsig* yang digunakan juga sudah tepat. Berdasarkan hasil ramalan data IHSG menggunakan model GARCH(1,1) menghasilkan nilai MAPE yang relatif kecil yaitu 0.0269, nilai ini tidak jauh beda dengan nilai MAPE untuk hasil peramalan dengan jaringan syaraf

45 tiruan *backpropagation* yang besarnya 0.0216. Hal ini berarti keakuratan ramalan model GARCH(1.1) untuk memprediksi IHSG hampir sama dengan jaringan syaraf tiruan *backpropagation*. Akan tetapi jika dilihat dari nilai MSE-nya, model GARCH(1,1) menghasilkan nilai MSE sebesar 1890.26 dimana nilai ini jauh lebih besar dibandingkan dengan nilai MSE yang dihasilkan oleh JST *backpropagation* yang hanya sebesar 1033.10. Hal ini berarti jaringan syaraf tiruan memiliki kemampuan meredam eror yang lebih baik. Untuk lebih jelasnya diperlihatkan oleh Gambar 4.6. Pada Gambar 4.6 terlihat bahwa grafik hasil peramalan menggunakan JST-*backpropagation* lebih mendekati grafik nilai aktualnya dibandingkan dengan grafik peramalan GARCH.